

# Центры $\text{NO}_3^{2-}$ в синтетическом гидроксилапатите

© И.П. Ворона<sup>1</sup>, С.С. Ищенко<sup>1</sup>, Н.П. Баран<sup>1</sup>, В.В. Рудько<sup>1</sup>, И.В. Затовский<sup>2</sup>,  
Н.А. Городилова<sup>2</sup>, В.Ю. Поварчук<sup>3</sup>

<sup>1</sup> Институт физики полупроводников им. В.Е. Лашкарова НАН Украины,  
Киев, Украина

<sup>2</sup> Национальный университет им. Т. Шевченко,  
Киев, Украина

<sup>3</sup> Институт физики НАН Украины,  
Киев, Украина

E-mail: ip\_vorona@yahoo.com

(Поступила в Редакцию 9 марта 2010 г.)

Методом ЭПР исследованы структура и свойства парамагнитных комплексов  $\text{NO}_3^{2-}$ , образованных  $\gamma$ -лучами и УФ-светом, в синтетическом гидроксилапатите (ГАП). Впервые наблюдалось образование центров  $\text{NO}_3^{2-}$  под воздействием УФ-света. Обнаружено, что в синтетическом ГАП комплексы  $\text{NO}_3^{2-}$  образуют два типа парамагнитных центров. Предложены их модели, определены радиоспектроскопические параметры, исследовано влияние термического отжига. При увеличении СВЧ-мощности наблюдалась инверсия спектров ЭПР.

## 1. Введение

В последнее время отмечается значительный рост исследовательского интереса к синтезу и свойствам различных фосфатов кальция и особенно гидроксилапатита (ГАП)  $\text{Ca}_{10}(\text{PO}_4)_6(\text{OH})_2$ . Это объясняется тем, что ГАП формирует минеральную основу биологических тканей, таких как кость и зубная эмаль [1]. Поэтому, например, костные имплантанты и их покрытия на основе ГАП обладают не только уникальной биологической совместимостью с человеческим организмом, но и образуют устойчивые химические связи с костной тканью и постепенно трансформируются в кость.

Состав синтетического ГАП зачастую обнаруживает отклонение от стехиометрии. Кроме того, кристаллическая решетка ГАП весьма податлива к катионным и анионным замещениям [1]. Все это обусловливает значительные нарушения кристаллической решетки. В то же время хорошо известно, что механические и физические свойства ГАП существенным образом зависят от типа и количества примесей, которые входят в решетку апатита. Поэтому актуальной становится задача качественного и количественного контроля примесной подсистемы ГАП, а также ее изменений при внешних воздействиях на материал. Наиболее изученной анионной примесью как в синтетическом, так и биологическом ГАП является углерод. Его влияние на структуру и свойства биологических и синтетических материалов широко исследовалось методами рентгеноструктурного анализа [2], инфракрасной спектроскопии [3], ядерного магнитного резонанса [4], электронного парамагнитного резонанса (ЭПР) [5–8] и двойного электронно-ядерного резонанса [8,9]. Другие примеси в ГАП изучены менее детально.

Как правило, синтетический ГАП получают из водного раствора нескольких солей, в состав которых может входить нитратный анион  $\text{NO}_3^-$ . Считается, что в процессе синтеза он входит в структуру ГАП, замещая гидрок-

сильную группу [2]. При захвате свободного электрона он образует парамагнитный комплекс  $\text{NO}_3^{2-}$ , который в ряде работ был зарегистрирован методом ЭПР в порошках синтетического ГАП, облученного ионизирующими излучением (см., например, [2,10]). Идентификация парамагнитных центров в указанных работах опиралась на характерную структуру спектров, обусловленную сверхтонким взаимодействием (СТВ) неспаренного электрона со спином  $S = 1/2$  с магнитным ядром со спином  $I = 1$ . Тем не менее существует значительный разброс в определении параметров этих центров, а комплексы  $\text{NO}_3^{2-}$ , образованные низкоэнергетическим излучением, не изучены вообще. Целью настоящей работы является определение радиоспектроскопических параметров и исследований свойств комплексов  $\text{NO}_3^{2-}$  в  $\gamma$ - и УФ-облученном синтетическом ГАП.

## 2. Материалы и методы

Порошки синтетического гидроксилапатита были синтезированы в результате смешивания в водном растворе солей  $(\text{NH}_4)_2\text{HPO}_4$ ,  $\text{Ca}(\text{NO}_3)_2$  и  $\text{Na}_2\text{CO}_3$ . Молярное соотношение  $(\text{Ca}^{2+}/\text{PO}_4^{3-})$  исходных реагентов составляло 10/6, а осаждение проводилось при значениях  $\text{pH} = 7.5–7.7$ . Данные порошковой рентгенографии (diffractometer Shimadzu XRD-600) показали, что набор рефлексов для полученных ГАП аналогичен характерному набору апатитов, а примеси каких-либо других фаз отсутствуют.

Образцы были облучены  $\gamma$ -лучами от источника  ${}^{60}\text{Co}$  с мощностью  $2.58 \cdot 10^{-2} \text{ C} \cdot \text{kg}^{-1} \cdot \text{s}^{-1}$  (100 R/s) при комнатной температуре. По оценкам поглощенная доза составляла около 10 kGy. Для облучения ультрафиолетом использовалась ртутная лампа высокого давления типа ДРТ. Время облучения составляло 4 h.

Изохронный отжиг проводился в муфельной печи в температурном диапазоне 20–250°C. Время отжига

составляло 60 min при каждой выбранной температуре. Температура контролировалась термопарой, что обеспечивало точность ее измерения не хуже чем  $\pm 1^\circ\text{C}$ .

ЭПР-исследования проводились на спектрометре  $X$ -диапазона ( $\sim 9.5 \text{ GHz}$ ) при комнатной температуре. Использовалась модуляция магнитного поля с частотой 100 kHz и амплитудой 0.05 mT. Погрешность измерения индукции магнитного поля не превышала 0.01 mT. Спектры ЭПР исследуемых образцов записывались вместе со спектром эталонного образца  $\text{MgO}:\text{Cr}^{3+}$  ( $g = 1.9800$ ).

### 3. Экспериментальные результаты и обсуждение

В исходном необлученном порошке ГАП сигналы ЭПР отсутствовали. Под воздействием  $\gamma$ -облучения в образце проявлялся сложный многокомпонентный сигнал ЭПР (рис. 1), характерный для парамагнитного комплекса  $\text{NO}_3^{2-}$  и обусловленный взаимодействием неспаренного электрона ( $S = 1/2$ ) с ядром азота ( $I = 1$ ). Для определения параметров этого центра был проведен анализ с использованием спин-гамильтониана, содержащего электронное зеемановское и сверхтонкое взаимодействия,

$$H = \beta \hat{\mathbf{S}} g \mathbf{B} + h \hat{\mathbf{S}} A \hat{\mathbf{I}},$$

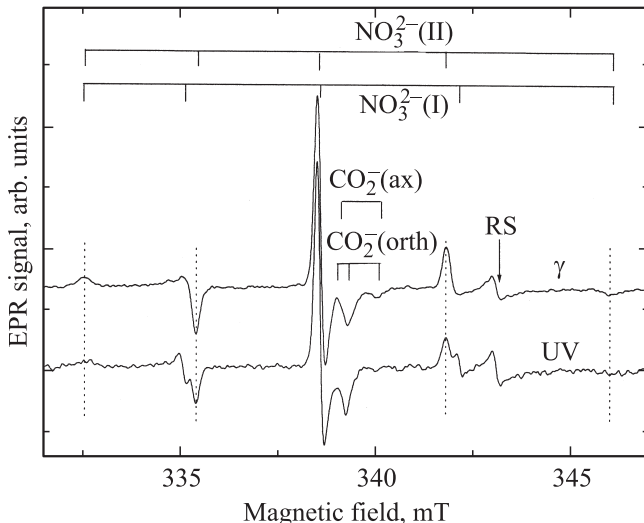
где  $\beta$  — магнетон Бора,  $h$  — постоянная Планка,  $\hat{\mathbf{S}}$  и  $\hat{\mathbf{I}}$  — электронный и ядерный спиновые операторы,  $g$  и  $A$  — тензоры радиоспектроскопического расщепления и СТВ соответственно. Диагонализация спин-гамильтониана проводилась методом теории возмущений с учетом членов второго порядка. Моделирование спектров порошков осуществлялось с

помощью программы Symphonie, входящей в пакет WinEPR компании Bruker. Проведенный анализ показал, что рассматриваемый спектр ЭПР описывается параметрами  $g_{||} = 2.0017 \pm 0.0003$ ,  $g_{\perp} = 2.0057 \pm 0.0003$  и  $A_{||} = 6.70 \pm 0.05 \text{ mT}$ ,  $A_{\perp} = 3.27 \pm 0.02 \text{ mT}$ . В пределах экспериментальных погрешностей полученные значения  $g$ -тензора совпадают с данными работы [10] для комплекса  $\text{NO}_3^{2-}$  в ГАП. В то же время компоненты тензора СТВ несколько отличаются от данных этой работы и являются более близкими к параметрам комплекса  $\text{NO}_3^{2-}$  в нестехиометрическом ГАП [2]. Отметим, что в спектре ЭПР проявлялись также следы радикала  $\text{CO}_2^-$  [11], который образовался при облучении и связан с наличием в образце неконтролируемой примеси углерода.

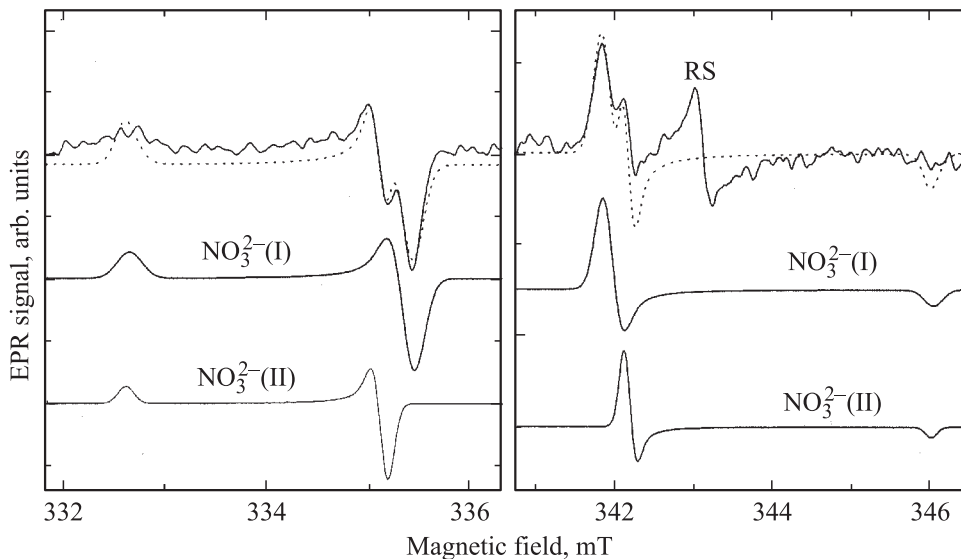
Впервые было обнаружено, что комплексы  $\text{NO}_3^{2-}$  в ГАП образуются также под воздействием УФ-света (рис. 1). Причем детальный анализ спектра ЭПР с разложением его на компоненты с помощью программы Separator из пакета Visual EPR показал, что при УФ-облучении в ГАП образуются два типа центров  $\text{NO}_3^{2-}$ . Первый тип центров (обозначим его  $\text{NO}_3^{2-}(\text{I})$ ) характеризуется параметрами  $g_{||} = 2.0017 \pm 0.0003$ ,  $g_{\perp} = 2.0057 \pm 0.0003$  и  $A_{||} = 6.70 \pm 0.05 \text{ mT}$ ,  $A_{\perp} = 3.51 \pm 0.02 \text{ mT}$ . Спектр ЭПР центров второго типа ( $\text{NO}_3^{2-}(\text{II})$ ) характеризуется параметрами  $g_{||} = 2.0017 \pm 0.0003$ ,  $g_{\perp} = 2.0057 \pm 0.0003$  и  $A_{||} = 6.70 \pm 0.05 \text{ mT}$ ,  $A_{\perp} = 3.27 \pm 0.02 \text{ mT}$ . Из чего следует, что  $\text{NO}_3^{2-}(\text{II})$  идентичны центрам, образованным под воздействием  $\gamma$ -облучения в тех же образцах, в то же время центры  $\text{NO}_3^{2-}(\text{I})$  регистрировались только в УФ-облученных образцах.

На рис. 2 представлено модельное описание экспериментального спектра УФ-облученных образцов. Для лучшей демонстрации показаны низкополевая и высокополевая части спектра, центральная часть опущена. Отметим, что оба центра характеризуются одинаковыми значениями  $g$ -тензора, в то время как тензоры СТВ двух типов центров несколько различны: компонента  $A_{\perp}$  у комплекса  $\text{NO}_3^{2-}(\text{I})$  больше, чем у комплекса  $\text{NO}_3^{2-}(\text{II})$ . Относительно компонент  $A_{||}$  сказать что-то определенное сложно ввиду того, что хорошо описать эту часть спектра не удалось. Это связано со слабой интенсивностью сигнала ЭПР в этой области и с невозможностью в рамках моделирования однозначно установить причину уширения линии в районе  $A_{||}$ . Такое уширение может быть вызвано как различием (или разбросом) значений  $A_{||}$  для центров I и II, так и угловой зависимостью ширины спин-пакета. Нами при моделировании спектра использовалась единная ширина спин-пакета, хотя в деталях она не описывала ширину и форму сигнала в области  $A_{||}$ . Сравнение экспериментального и модельного спектров ЭПР для УФ-облученного ГАП приведено на рис. 2.

Дополнительную информацию о структуре радиационно-индцированных спектров ЭПР можно получить из исследования термической стабильности центров.



**Рис. 1.** ЭПР-спектры  $\gamma$ - и УФ-облученного синтетического ГАП. RS — сигнал от  $\text{MgO}:\text{Cr}^{3+}$ , который использовался в качестве эталонного образца. Вертикальные пунктирные линии проведены для лучшего восприятия отличий в форме спектров.



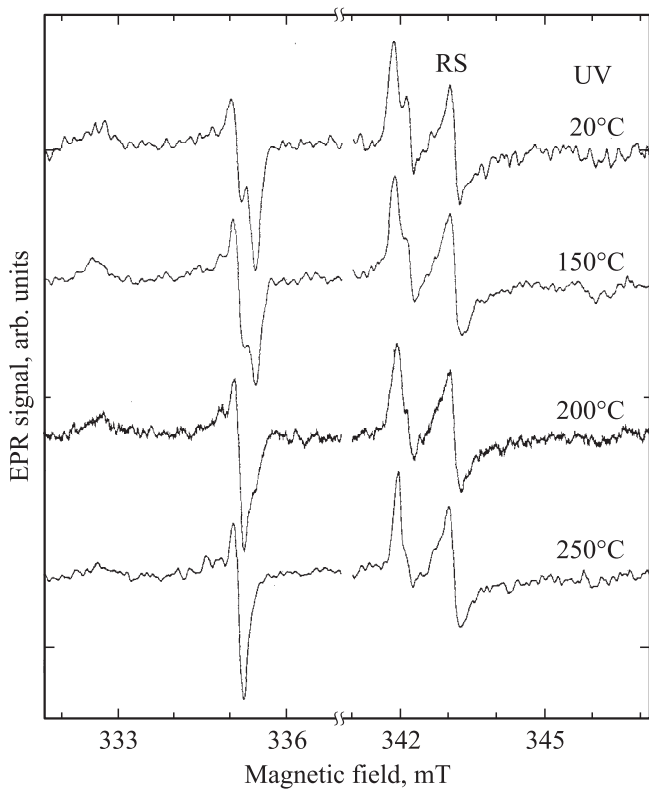
**Рис. 2.** Экспериментальный (сплошная линия) и модельный (пунктир) спектры ЭПР УФ-облученного ГАП. Внизу показаны компоненты, которые использовались при моделировании.

На рис. 3 приведены спектры ЭПР УФ-облученных образцов, отожженных при разных температурах. Для каждого из этих экспериментальных спектров ЭПР проводилось моделирование с разложением на компоненты аналогично проведенному на рис. 2. Было обнаружено, что с увеличением температуры отжига наблюдалась

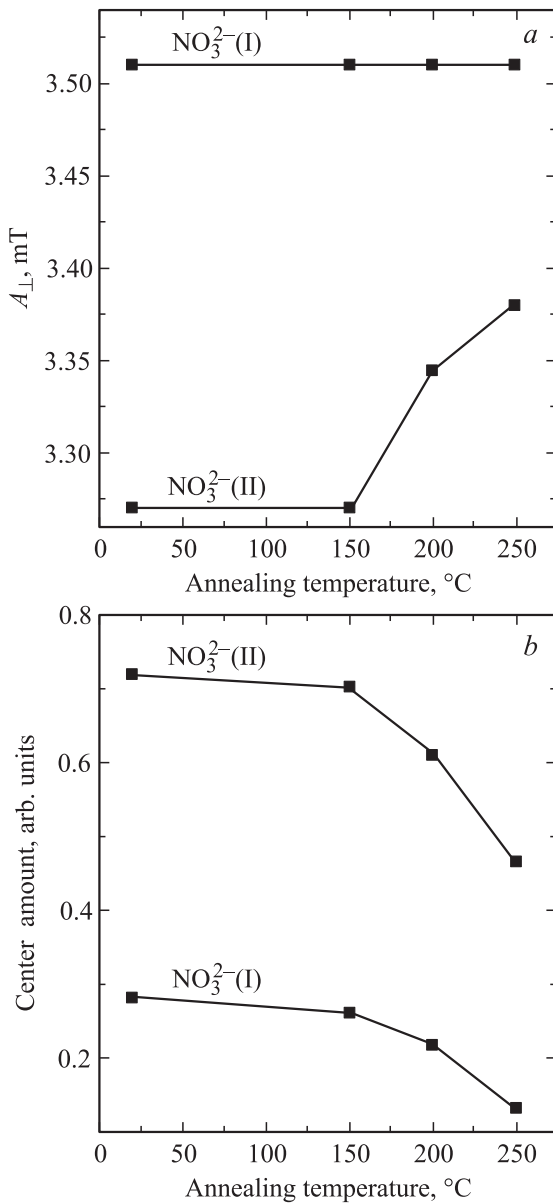
увеличение величины сверхтонкого взаимодействия ( $A_{\perp}$ ) для центра  $\text{NO}_3^{2-}$ (II) (рис. 4, a) и сужение соответствующей линии, в то время как параметры центра  $\text{NO}_3^{2-}$ (I) остаются постоянными. Поведение сигнала ЭПР, обусловленного центрами  $\text{NO}_3^{2-}$ , в  $\gamma$ -облученных образцах было аналогичным в пределах экспериментальных ошибок поведению комплексов  $\text{NO}_3^{2-}$ (II) в УФ-облученных образцах, что подтверждает гипотезу об идентичности этих центров в УФ- и  $\gamma$ -облученных образцах. На рис. 4, b продемонстрирована зависимость концентраций центров  $\text{NO}_3^{2-}$ (I) и  $\text{NO}_3^{2-}$ (II), рассчитанных как двойной интеграл соответствующих модельных спектров, от температуры отжига образца. Она носила монотонный характер для обоих типов центров.

Изучение зависимости сигнала ЭПР  $\text{NO}_3^{2-}$  от мощности СВЧ привело к неожиданному результату. При  $P_{\text{VHF}} = 20 \text{ mW}$  наблюдалась инверсия спектра ЭПР (рис. 5). Скорее всего, она связана с выполнением при такой мощности СВЧ условий адиабатически быстрого прохождения через резонанс [11]. Результаты детального исследования этого эффекта будут опубликованы нами позже.

Разброс величин сверхтонкого взаимодействия центров  $\text{NO}_3^{2-}$  в разных образцах ГАП в работе [2] связывают с разной степенью стехиометрии последних. Полученные в настоящей работе результаты показывают, что центры  $\text{NO}_3^{2-}$  с разными параметрами могут одновременно существовать в одном образце, что противоречит упомянутой выше гипотезе. Кроме того, было обнаружено влияние температурного отжига ГАП на параметры СТВ одного из центров, а именно  $\text{NO}_3^{2-}$ (II). Поскольку температуры отжига (20–300°C) недостаточны для того, чтобы изменить стехиометрию материала, последняя, по-видимому, не может являться причиной существования



**Рис. 3.** Изменение формы ЭПР-сигнала УФ-облученного ГАП при отжиге.

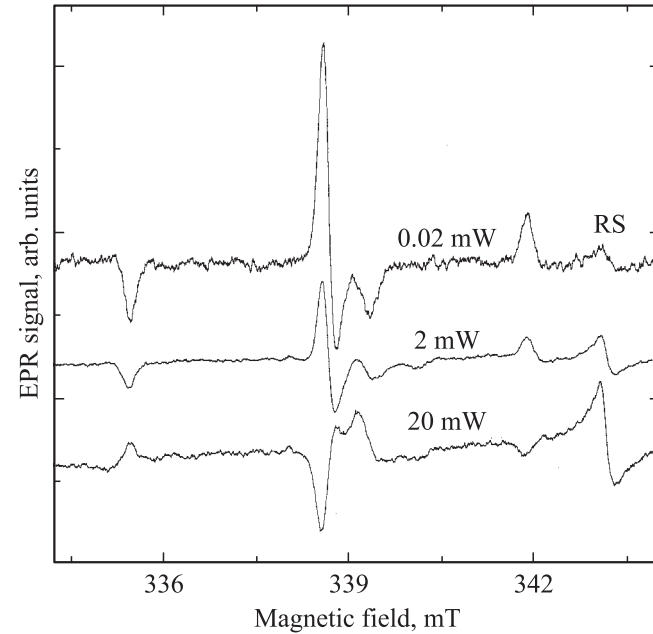


**Рис. 4.** Изменение константы сверхтонкого взаимодействия  $A_{\perp}$  (а) и количества центров  $\text{NO}_3^{2-}(\text{I})$  и  $\text{NO}_3^{2-}(\text{II})$  (б) при отжиге УФ-облученного ГАП. На части б за единицу принято общее количество центров  $\text{NO}_3^{2-}$  в неотожженном образце.

ния в ГАП центров  $\text{NO}_3^{2-}$  с разными параметрами СТВ. На наш взгляд, для комплексов  $\text{NO}_3^{2-}$  можно провести аналогию с комплексами  $\text{CO}_2^-$ , которые в ГАП также образуют парамагнитные центры двух типов  $\text{CO}_2^-(\text{I})$  и  $\text{CO}_2^-(\text{II})$ , различие между которыми заключается в наличии в ближайшем окружении центра  $\text{CO}_2^-(\text{II})$  непарамагнитного дефекта структуры [12,13]. Тогда можно предложить следующие модели парамагнитных центров  $\text{NO}_3^{2-}$  в ГАП. Центры  $\text{NO}_3^{2-}(\text{I})$  расположены в бездефектной области ГАП. Центры  $\text{NO}_3^{2-}(\text{II})$  отличаются от центров  $\text{NO}_3^{2-}(\text{I})$  наличием в своем окружении непарамагнитного дефекта решетки, взаимодействие с

которым приводит к уменьшению спиновой плотности неспаренного электрона на ядре азота и, как следствие, к уменьшению параметров СТВ. Разнобой в значениях параметров СТВ центров  $\text{NO}_3^{2-}$  в ГАП в различных работах может быть связан с разным расстоянием такого дефекта от  $\text{NO}_3^{2-}$ . При отжиге происходит удаление дефекта от комплекса  $\text{NO}_3^{2-}$ , что приводит к увеличению параметров СТВ центров  $\text{NO}_3^{2-}(\text{II})$  и приближению их к параметрам центра  $\text{NO}_3^{2-}(\text{I})$ . В то же время отжиг не влияет на параметры центров  $\text{NO}_3^{2-}(\text{I})$ , так как их окружение является термически стабильным.

В рамках предложенных моделей центров  $\text{NO}_3^{2-}(\text{I})$  и  $\text{NO}_3^{2-}(\text{II})$  можно объяснить различие в процессах дефектообразования комплексов  $\text{NO}_3^{2-}$  в ГАП при их облучении разным излучением, в частности различие в спектрах ЭПР образцов, облученных  $\gamma$ -лучами и УФ-светом. Под воздействием как  $\gamma$ -, так и УФ-облучения происходит ионизация мелких (по глубине залегания уровня в запрещенной зоне) дефектных центров (электронных ловушек) в ГАП, в результате чего возникают свободные электроны [14]. Эти электроны способны захватываться ионами  $\text{NO}_3^-$ , в результате чего возникает парамагнитный комплекс  $\text{NO}_3^{2-}$ . Под воздействием УФ-облучения в структуре апатита образовываются два типа центров  $\text{NO}_3^{2-}(\text{I})$  и  $\text{NO}_3^{2-}(\text{II})$ , различие между которыми обусловлено наличием или отсутствием вблизи радиационно-индукционного комплекса  $\text{NO}_3^{2-}$  непарамагнитного дефекта решетки. По-видимому, соотношение концентраций центров I и II будет связано со степенью дефектности исходного материала. С другой стороны,



**Рис. 5.** Изменение формы ЭПР-сигнала  $\gamma$ -облученного ГАП с увеличением СВЧ-мощности (инверсия спектра ЭПР центров  $\text{NO}_3^{2-}$ ). Компоненты спектра в области  $A_{\parallel}$ , имеющие слабую интенсивность, не показаны.

такое высокоэнергетическое излучение, как  $\gamma$ -лучи, способно само создавать дополнительные непарамагнитные дефекты в решетке апатита. Причем концентрация этих дефектов может быть столь велика, что в ЭПР-спектрах  $\gamma$ -облученных ГАП проявляется только сигнал от комплексов  $\text{NO}_3^{2-}$  (II). Термический отжиг разрушает (или смешает) уже существующие непарамагнитные дефекты решетки, в результате чего сверхтонкое взаимодействие  $\text{NO}_3^{2-}$  (II) центров увеличивается и приближается к СТВ центров  $\text{NO}_3^{2-}$  (I).

## Список литературы

- [1] В.С. Соболев. Физика апатита. Наука, Новосибирск (1975). 111 с.
- [2] А.Б. Брик, А.П. Шпак, А.П. Клименко, В.Л. Карбовский, В.А. Дубок, А.М. Калиниченко, Н.Н. Багмут, В.В. Бевз. Минерал. журн. (Украина) **28**, 20 (2006).
- [3] D.W. Holcomb, R.A. Young. Calcif. Tissue Int. **31**, 189 (1980).
- [4] K. Beshah, C. Rey, M.J. Glimcher, M. Schimizu, G. Griffin. J. Solid State Chem. **84**, 71 (1990).
- [5] M. Ikeya. New applications of electron spin resonance. Dating, dosimetry and microscopy. World Scientific, Singapore (1993). 500 p.
- [6] F.J. Callens, R.M.H. Verbeek, D.E. Naessens, P.F.A. Matthys, E.R. Boesman. Calcif. Tissue Int. **44**, 114 (1989).
- [7] Л.Г. Глинская, М.Я. Щербакова, Ю.Н. Занин. Кристаллография **15**, 1164 (1970).
- [8] F.J. Callens. Nucleonika **42**, 565 (1997).
- [9] S. Ishchenko, I. Vorona, S. Okulov. Semicond. Phys. Quantum Electron. Optoelectron. **2**, 84 (1999).
- [10] T. Murata, K. Shiraishi, Y. Ebina, T. Miki. Appl. Rad. Isotop. **47**, 1527 (1996).
- [11] А. Абрагам, Б. Блини. Электронный парамагнитный резонанс переходных ионов. Мир, М. (1972). Т. 1. 651 с.
- [12] И.П. Ворона, Н.П. Баран, С.С. Ищенко, В.В. Рудько, Л.С. Чумакова, В.Ю. Поварчук. ФТТ **50**, 1779 (2008).
- [13] V.V. Rudko, I.P. Vorona, N.P. Baran, S.S. Ishchenko, I.V. Zatovsky, L.S. Chumakova. Health Phys. **98**, 322 (2010).
- [14] J.E. Aldrich, B. Pass. Health Phys. **54**, 469 (1988).